

大阪府立工業高等専門学校 正員 平山秀夫

1. はしがき： 斜面上での質量輸送速度の実態を把握するには、海浪流系や海浜の変形機構を究明する上で最も重要な事項の一つである。

著者は、ここ数年来、波動場での質量輸送の特性と種々の角度から検討してきているが、特に昨年度は單一粒子を用いて、斜面匀配 $1/10$ の傾斜面上における粒子の運動特性を、特にその運動速度や軌跡の特性、粒子の残留速度の鉛直分布と碎波型式との関連性などを主眼において調べるとともに、残留速度の分散値から推定される傾斜面上の波動中ににおける拡散係数のオーダーやその分布特性などについても検討を加え、これまでの一連水深の場合の結果と比較検討してきた。しかしながら、これらの結果はあくまで斜面匀配がただ $1/10$ の場合のみでの結果であるので、斜面匀配の相違によるこれらの特性の変化に関する限りでは言及できなかった。

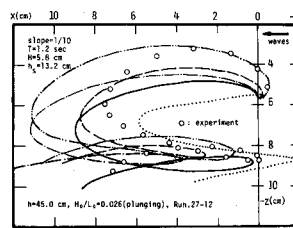
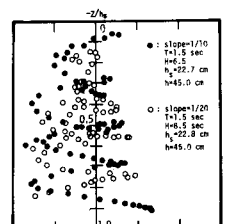
本研究は、このような観察から、昨年度に引き続いて、斜面上における單一粒子の残留速度の分布特性をさらに詳しく調べようとするもので、ここでは特に、斜面匀配を $1/10$ として昨年度より急な場合での実験を行い、前回の $1/20$ 匀配の場合との比較検討を行うなど、斜面匀配の相違による單一粒子の運動や残留速度の特性の差異を主として実験的に調べようとするものである。

2. 実験装置・実験方法・解析方法： 実験は、水槽の端部に匀配 $1/10$ の斜面を設置した長さ $21\text{m}$ 、幅 $70\text{cm}$ 、高さ $1\text{m}$ の片面ガラス張り水槽を用いて行った。

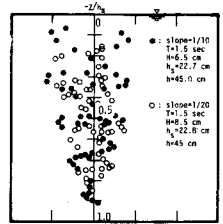
実験の方法は、前報と全く同様に、造波開始後5波目、100波目および1000波目の波の場合について水表面の波峰の位置から單一粒子(粒径 $1.92\text{mm}$ 、沈降速度 $2.55\text{cm/sec}$ 、比重 $1.04$ )を水中に投入し、その挙動をストロボを照射して写真撮影を行った。單一粒子の投入位置は、目測の碎波堤から沖側にほぼ $0.7\text{m}$ 、 $0.5\text{m}$ 、 $1.0\text{m}$ 、 $1.5\text{m}$ および $1.65\text{m}$ の位置の5ヶ所を選んだ。実験条件は、沖側水深を $h=45.0\text{cm}$ と常に一定として、周期 $T=1.0, 1.2, 1.5, 2.0\text{sec}$ の各場合について沖側波高を $H_0=5.2 \sim 12.4\text{cm}$ の間で適当に変化させた。

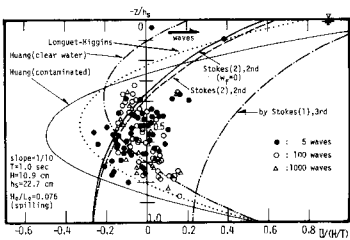
実験結果の解析方法は、前報と全く同様であるので、ここでは省略する。

3. 実験結果および考察： (1) 単一粒子の運動軌跡： 図-1は斜面における單一粒子の軌跡の1例を示したものである。これらの図中の各種理論曲線は、前報で示した方法に基づいて求めたもので、実線は微小振幅波理論に基づく解析的方法、1次鎖環は微小振幅波理論による差分法、破線は Skjelbreia の第3次近似解による差分法、2次鎖環は波速の $\sqrt{2}$ 乗法に基づく Stokes 波の $\sqrt{2}$ 乗近似解による差分法および実線はハイパボリック波による差分法に基づく結果で、○印は実験結果である。この図から明らかのように、昨年度の $1/20$ 匀配の場合の結果と同様に、斜面匀配 $1/10$ の場合における單一粒子の軌跡の理論値と実験値の差異はかなり著しく、ここでは示していないが、特に波高や周期が大きかつて水深が浅くなるほど、そのような傾向が強くなるようである。なお、図-2 (1), (2) は1例として水平および鉛直速度の実験値( $u_0, w_0$ )と理論値( $u_t, w_t$ )：單一粒子の実測の座標を用いて微小振幅波理論から算出した結果との適合の程度の場所的分布特性を調べるために、実験値と理論値の差異の鉛直分布と斜面匀配 $1/20$ の場合(図中○印)と斜面匀配 $1/10$ の場合(図中●印)の比較を行ったものである。これらの図から明らかなように、斜面匀配の相違による実験値と理論値の差異の分布特性の違いは明確ではないが、図の(1)の水平速度の場合には、特に底面に近くにつ

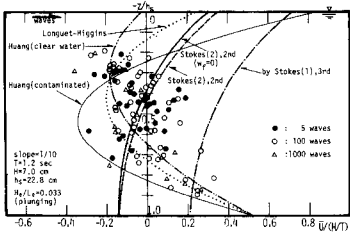
図-1 単一粒子の軌跡(匀配 $1/10$ )

(1) 水平速度の場合

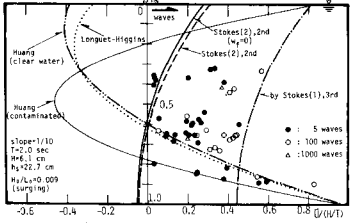
(2) 鉛直速度の場合  
図-2 単一粒子の速度の実験値と理論値との差の鉛直分布



(1) 崩れ波の場合



(2) 巻き波の場合



(3) 破り寄せ波の場合

図-3 単一粒子の水平残留速度の鉛直分布

かなるよ)に、鉛直残留速度の場合にも、碎波型式による分布特性の若干の差異が見られ、斜面勾配が $1/10$ の場合には、どちらかと言えば、崩れ波のときは $U/H_s/T < 1$ 、巻き波や碎り寄せ波の場合には逆に $U/H_s/T > 1$ の値ととなる場合が多く、昨年度の $1/20$ 勾配の場合の、水面付近で崩れ波と巻き波とでは、たゞ実験値の分散の程度が異なることを除いて、明確な差異を見出せなかつたといふ結果と若干相違するようである。このよう反対の1つとして、斜面勾配が急になることにより底に流れ反射の効果が増大するところをうかがわ。

(3) 残留速度による拡散係数：前報<sup>1)</sup>と全く同様にして、残留速度の分散値から推定される拡散係数の鉛直分布を斜面勾配別に分けて示したもののが図-4(1), (2)で、それらは水平拡散係数、(2)は鉛直拡散係数の結果である。これらの図から明らかなるよ)に、斜面上の波動中ににおける拡散係数のオーダーは、斜面勾配の相違によらず差異はほとんど見られなく、水平および鉛直拡散係数ともほほ $10^{-3}$ ~ $10^{-2}$ のオーダーであつて、水平方向の位置によってもオーダー的にはあまり違いはないようである。

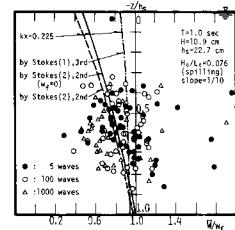
最後に、本研究を実施するにあたり、終始、ご指導を賜った岩垣雄一京都大学教授に心から感謝の意を表すとともに、本研究は文部省科学研究費奨励研究(A)による研究の一部であることを付記し謝意を表す。

参考文献： 1) 幸山秀夫：斜面上の波動中ににおける单一粒子の残留速度に関する研究、第26回海講論文集、pp.1~5、1979.

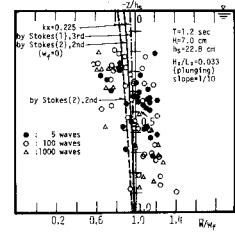
れて実験値と理論値との差異が著しくなる傾向にあるようであるが、一方、図の(2)の鉛直速度の場合には、遂に水面に近いほど実験値と理論値の差異は顕著にならようである(図中の $h_s$ ：斜面上での測定点の水深)。

(2) 斜面上における单一粒子の残留速度の鉛直分布と碎波型式との関連性：図-3(1), (2), (3)

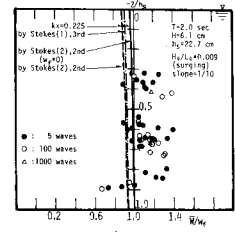
は碎波型式別に水平残留速度の鉛直分布の代表例を示したもので、それそれ(1)は碎波型式が崩れ波、(2)は巻き波、(3)は碎り寄せ波の場合の結果である。これらから明らかなるよ)に、昨年度の $1/20$ 勾配の場合には、碎波型式による分布特性の明確な差異は見出せなかつたが、斜面勾配が $1/10$ の場合には、どちらかと言えば、全般的に、崩れ波、巻き波、碎り寄せ波の順にそれそれ水平残留速度の値が、更にほほ0.5より正の値をとる傾向が強く、碎波型式による分布特性の若干の差異が見られるようである。一方、図-4(1), (2), (3)は鉛直残留速度の結果を碎波型式別に示したもので、それそれの場合の実験条件は図-3の各場合と全く同じである。これらの図から明ら



(1) 崩れ波の場合

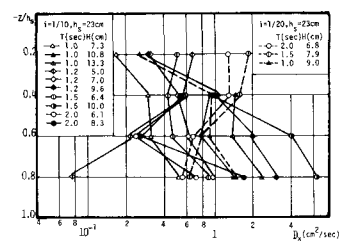


(2) 巻き波の場合

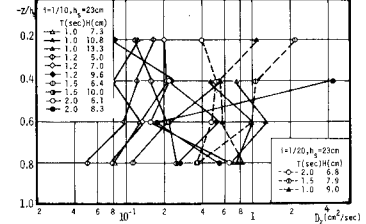


(3) 碎り寄せ波の場合

図-4 単一粒子の鉛直残留速度(沈降速度を含む)の鉛直分布



(1) 水平拡散係数



(2) 鉛直拡散係数

図-5 傾斜面上の波動中における拡散係数